МАШИНОСТРОЕНИЕ

## Г. Л. АРЕНІЯН, С. С. ЗАХАРЬЯН

## РАСЧЕТ ПЕРЕДАТОЧНЫХ ФУНКЦИИ КОНТАКТНОГО АППАРАТА СИИТЕЗА ВИНИЛАЦЕТАТА

Реактор нарофазного синтеза винилацетата в стационарном слое катализатора представляет собой трубчатый контактный анпарат с отводом тепла посторонним теплоносителям. В системе автоматического регулирования контактный анпарат, как объект регулирования, представляет собой звено с распределенными по длине реактора параметрами. В настоящей работе приводится аналитический расчет передаточных функций реактора. При этом используются уравнения динамики контактного анпарата, полученные на основе закономерностей химической кинстики, тепло-массообмена. Рассматривается промышленный реактор Ереванского запода "Поливинилацетат" с двумя вхолами: начальной температурой парогазовой смеси  $T_{\rm п.}$  и начальной температурой хладоагента (масля)  $T_{\rm мах}$ . Выходами реактора являются: гемпература рабочей зоны контактного аппарата ("горячая точка")  $T_{\rm max}$  и консеная температура хладоагента  $T_{\rm max}$ .

Статический режим контактного аппарата с достаточной точностью описывается следующей системой уравнений:

$$\begin{cases} \frac{d}{dl} = \frac{1}{v} \circ (x, T) \\ \frac{dT}{dl} = A_1 \circ (x, T) - B_1 (T - T_n) \end{cases} \tag{1}$$

причем

$$f(x, T) = \Re_{\theta} (1 - x) T e^{-RT}. \tag{2}$$

$$A_1 = \frac{c_0 Q}{v c_v} . \tag{3}$$

ле l— текущая длина трубки; T— температура — трубке;  $T_{\rm u}$ — температура масла в межтрубном пространстве; x— степень превращения уксусной кислоты:  $B_1$ ,  $B_2$ — параметры— теплоотвола,  $B_1$ — a s, v с  $B_2$ — a s v — a с

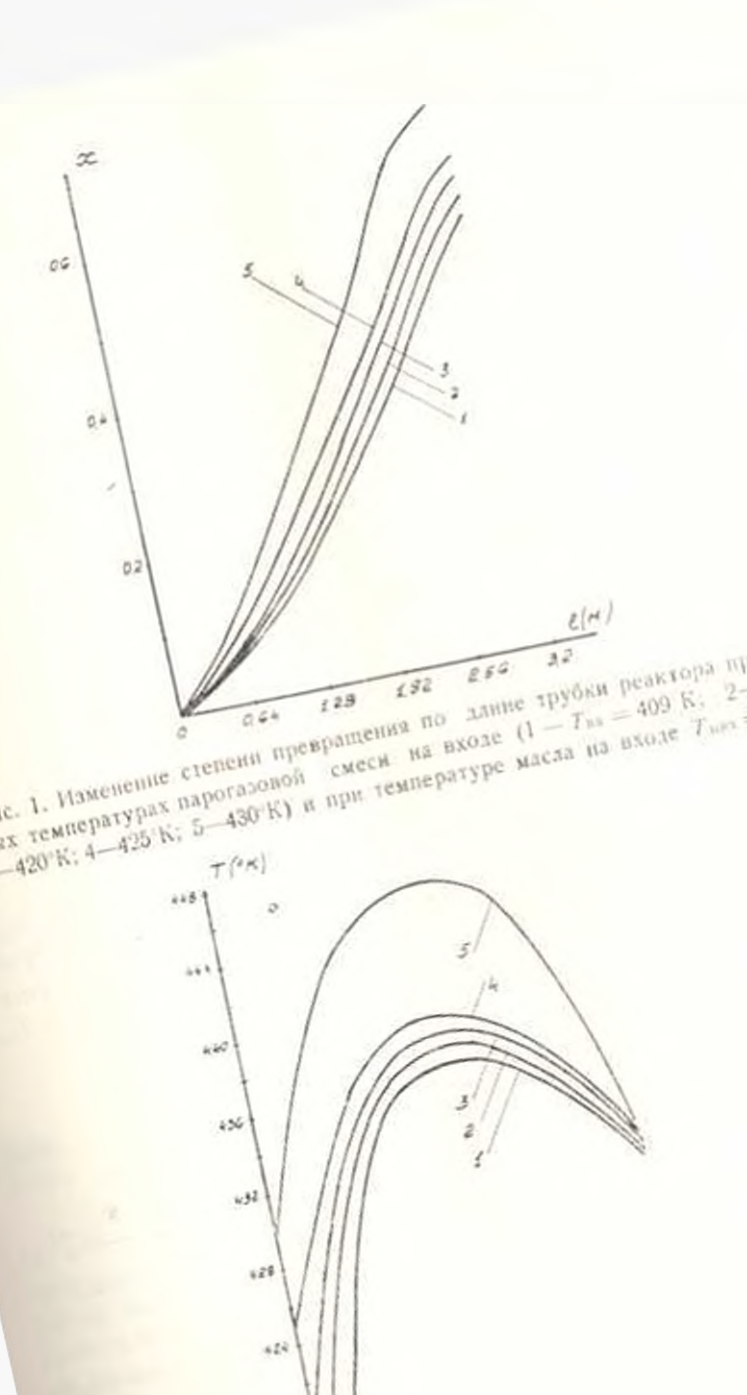


Рис. 1. Изменение степени превращения по дание трубки реактора при раз-Рис. 1. Изменение степени превращения по дание трубки реактора при развих температурах парогазовой смеси из входе (1—Tha = 409 K; 2—415). имх температурах парогазовой смесн на входе (1— Гы = 409 К; 2—415) 3—420°К; 4—425°К; 5—430°К) и при температуре масла на входе Тыкс = 420°С. 420 416 12 236 ине температуры внутри трубки при тех ж

 $s_{**}$  — удельная поверхность теплоотвола в слое катализатора,  $2/R_0$ : R = L — раднус и длина трубки; E — энергия активации реакции; R — газоная постоянная; Q — теплота реакции:  $K_0$  — коистанта скорости реакции. Граничные условия системы (1):

при 
$$I = 0, x = 0, T = T_{\text{ext}}; \text{ при } I = L, T_{\text{w}} = T_{\text{max}}.$$
 (4)

Параметры математического описания и решение уравнений статики (1) для промышленного реактора определены в [1].

11о уравнениям (1) вычислевы показанные на рисунках 1-3 ста-

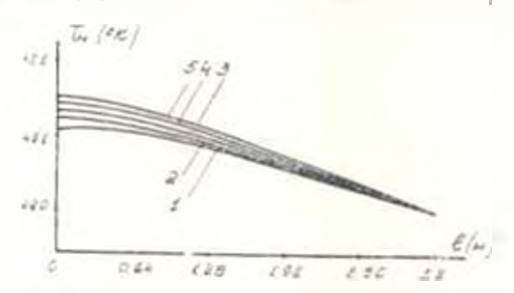


Рис 3 Изменение температуры масла по длине реактора при тех же условиях, что и для рис 1.

тические характеристики реактора при различных отклонениях одной входвои величини ( $T_{ci}=409,\ 415,\ 420,\ 425,\ 430$ ) и неизменных зивчениях другой ( $T_{ci}=420$ ). На рисунках 4, 5 показаны зависимости температуры средней зоны  $T_{ci}$  ( $t{=}t$ , 2) и температуры хладовгента  $T_{cont}$ 

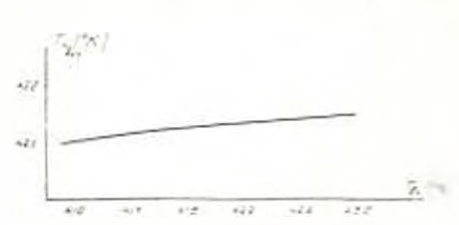


Рис. 4. Записимость температуры масха при ныходе из реактора от температуры парогазовой смеси на входе.

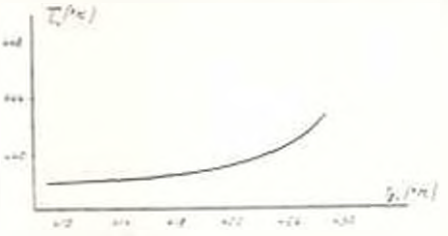


Рис 5. Зависимость температуры в средней тоне от температуры варогазовой смеси на иходе.

ня выходе реактора (I=0) от одного из входных параметров ( $T_{\rm RO}$ ). Графики на рисунках 3 и 5 линейны в достаточно широком интервале изменения входных величии.

11а основании математического описания (1) получены уравнения пестанионарного режима понтактного аппарата

$$B_{4} \frac{\partial T}{\partial t} = \frac{\partial T}{\partial t} - A_{1} \sigma(x, T) - B_{1} (T - T_{u});$$

$$B_{2} \frac{\partial T}{\partial t} = \frac{\partial T}{\partial t} - B_{2} (T - T_{u}),$$

$$(5)$$

причем

$$B_4 = \frac{c_k \phi_k}{c_0 v},$$

$$B_5 = \frac{1}{c_0 v_0}.$$

где  $c_k$ ,  $p_k$  — теплоемкость и удельный вес катализатора, t — время.

Пинеаризуя систему уравнений (5) для малых отклонений и преобразуя по Лапласу по переменной t, получаем систему уравнений в обыкновенных производных:

$$\frac{v \frac{dx}{dt}}{dt} = \left[ \left( \frac{\partial}{\partial x} \right)_{x_{\text{CI}}, T_{\text{CI}}} - s \left[ \bar{x} + \left( \frac{\partial}{\partial T} \right)_{x_{\text{CI}}, T_{\text{CI}}} \bar{T} \right] \right] \\
\frac{dT}{dt} = (F_1 - B_1 - B_2 s) \bar{T} + \left( \frac{\partial F_2}{\partial x} \right)_{x_{\text{CI}}, T_{\text{CI}}} \bar{x} + B_1 \bar{T}_{x_1} \\
\frac{dT}{dt} = -B_1 \bar{T} - (B_2 + B_3 s) \bar{T}_{x_1}$$
(6)

где s — оператор Лапласа;

x, T, T — изображения по Лапласу соответствующих отклонений  $\Delta x$ :  $\Delta T$ ,  $\Delta T_w$  от стационарных состояний в данном сечении;  $F_s$  — коэффициент ряда Тейлора

$$F_1 = A_1 \left( \frac{\partial \psi}{\partial T} \right)_{X_{\text{ext}}, T_{\text{ext}}}$$

Здесь  $A_1$  взято из (3),  $\phi(x,T)$  — из (2);  $T_{\rm cr}$  и  $x_{\rm cr}$  — станнонарные значения параметров в данном сечении.

Для получения передаточных функций пеобходимо решить системы (6) трех нелинейных дифференциальных уравнений в частных производных. Пелинейность вызвана тем, что  $T_{\rm cr}$  и  $x_{\rm cr}$  являются функциями параметра I. Для нахождения решения в первом приближении примем  $T_{\rm ct}$  и  $x_{\rm cr}$  независимыми от I и равными среднему по длине трубки значению, определяемому из статических характеристик. Таким образом, система (6) становится линейной и допускает решение в численном виде (требуется решение детерминанта третьего порядка). Примем также, что степень превращения x мало изменяется при подаче возмущения по каналам масла и парогазовой смеси. т. с. пренебрегаем первым уравнением системы (6). Это допущение несколько искажает действительную картину динамики процесса, но позволяет получить и перном приближении аналитическое решение системы (6), так как при этом требуется решение детермината второго порядка, что не составляет особых затруднений.

Обозначим

$$\overline{w}_{1}\left(s\right)=\overline{\mathcal{T}}_{B_{N}};\ w_{m}\left(s\right)+\overline{\mathcal{T}}_{M}\left[\mathcal{T}_{m}\right].$$

Тогда с учетом этих допущений систему (6) можно представить в виде

$$\begin{cases} \frac{dw_1}{dl} = (F_1 - B_1 - B_2 s) w_1 + B_1 w_1; \\ \frac{dw_2}{dl} = -B_2 w_1 - (B_2 + B_2 s) w_2. \end{cases}$$
(7)

Граничные условия системы (7) получаются из (4), причем  $T_{\rm vi}$  — ступенчатая функция

при l = 0,  $w_1(s) = 1$ ,  $w_2(s) = 0$ .

Система (7) решалась операторным методом. Решение имеет следующий вид:

$$x_{1}(s) = \frac{(B_{2} + B_{1}s + p_{1})e^{-s^{2}} + (-B_{2} - B_{2}s - p_{2})e^{-s^{2}}}{p_{1} - p_{2}};$$

$$x_{2}(s) = \frac{B_{2}(e^{-s} - p_{2})}{p_{1} - p_{2}}.$$
(8)

где р. 🚜 - кории уранцения

$$(p - F_1 + B_1 - B_2)(p + B_2 - B_3 s) - B_1 B_2 = 0$$

Произволя аналогичные выкладки относительно передаточних функций

$$w_4(s) = \frac{1}{1000}$$
,  $w_4(s) = \frac{1}{1000}$ 

получим систему уравнений

$$\frac{dw_3}{dl} = (F_1 - B_1 - B_4 s) w_3 + B_1 w_4;$$

$$\frac{dw_4}{dl} = -B_2 w_3 - (B_2 + B_5 s) w_4$$
(9)

с траничными условиями

$$\text{при } l = 1, \ w_3(s) = 0, \ w_4(s) = 1.$$

Решение системы (9) имеет вид

$$\frac{B_{1}}{p_{2}-p_{1}};$$

$$\frac{(-F_{1}+B_{1}+B_{1}s-p_{1})e^{p_{1}+1-p_{1}}+(F_{1}-B_{1}-B_{1}s-p_{1})e^{p_{1}(L-l)}}{p_{1}-p_{1}};$$

$$(10)$$

где  $p_a = \kappa$ орни уравнения

$$(p - F_1 - B_1 - B_2 s)(p - B_2 - B_2 s) + B_1 B_2 = 0.$$

Для контактного винарата с нараметрами, приведениями и [1], передаточные функции, рассчитанные по (8) и (10), после упрощения имеют следующий вид:

$$w_{1}(s) = 0,445 \frac{1 + 54s}{1 + 58s}$$

$$w_{2}(s) = 0;$$

$$w_{3}(s) = 4.56 \frac{1}{1 - 58s} e^{-s};$$

$$w_{4}(s) = 1,066 \frac{1}{1 + 58s} e^{-s}.$$
(11)

Приведенный метол определения передаточных функций выгодно отличается от метода [2] тем, что не требуется приближенного перехода от  $s=f_0$  к s=o и нахождения численных решений системы (7) при различных s=o и их последующей аппроксимации.

Ереванский политехвический институт им. К. Маркса

Поступнаю 28.V111.1967.

Գ. Լ. ԱՐԵՇՅՈՆ, Ո. Մ. ԶԱՐԱՐՅԱՆ

<mark>վինի</mark>ԱՑԵՏԱՏԻ ՍԻՆԻԵԶԻ ԿՈՆՏԱԿՏԱՏԻՆ ԱՊԱՐԱՏԻ ՓՈԽԱՆՑՄԱՆ ՖՈՒՆԿՏԻԱՆԵՐԻ ՀԱՇՎԱՐԿՈՒՄԸ

H. of din din col

Ավտոմատ կարդավորման սիստնվում կոնտակատյին տորարատն իրննից ներկայացնում է ռեակտորի հրկարությամբ բաշխված պարամետրներով օդակ։ Հոդվածում առաջարկված է ռնակտորի փոխանցման ֆունկցիաների հաշվարկման անալիտիկ մեթիոր։ Փոխանցման ֆունկցիաները որոշվում են կոնտակտային ապարատի դինամիկան պատկերող մասնակի ածանցյալներով դիֆերննցիալ ավասարումների սիստնմից։ Փոխանցման ֆունկցիաների հաշվարկումը դիտված է կատալիդատորի կայուն շերտում վինիլացնտատի շողնդաղային սինքների արդյունաբերական ռնակտորի օրինակով։

## ЛИТЕРАТУРА

1. Арешин Г. Д. Захарыян С. С. С. С. тр. факультета техинческой киберистики Ереванского политехнического института.

2. Сб. тр. "Моделирование и оптимизация каталических процессов", 1965. Илд. "Наука" (статья Б. Бескова и Ю. Матроса).